

شناسایی منابع شوری آب زیرزمینی دشت لنجانات اصفهان

زهرا کی همایون^۱، حمیدرضا ناصری^{۲*} و محمد نخعی^۳

۱- دانش آموخته دکتری آب شناسی، گروه زمین شناسی، دانشکده علوم زمین، دانشگاه شهید بهشتی، تهران، ایران

۲- دانشیار گروه زمین شناسی، دانشگاه شهید بهشتی، تهران، ایران

۳- دانشیار گروه زمین شناسی، دانشگاه علوم، دانشگاه تربیت معلم، تهران، ایران

تاریخ پذیرفته: ۸۹/۱۰/۱۸
تاریخ دریافت: ۹۱/۲/۲۲

Identifying Sources of Groundwater Salinization in Lenjanat Plain, Esfahan, Iran

Zahra Kayhomayoun,¹ Hamid Reza Nassery^{2*} and Mohammad Nakhaei³

1- Hydrogeology Ph.D. Graduate, Department of Geology, Faculty of Earth Sciences, University of Shahid Beheshti, Tehran, Iran

2- Associate Professor, Department of Geology, Faculty of Earth Sciences, University of Shahid Beheshti, Tehran, Iran

3- Associate Professor, Department of Geology, Faculty of Science, University of Tarbiat Moallem, Tehran, Iran

Abstract

For identifying sources of groundwater salinization in Lenjanat Plain, samples were seasonally collected from groundwater, surface water and industrial wastewater. The results of field and laboratory measurements show a gradual increase in major (Na, Ca, Cl, SO₄) and minor (Li, Br, Sr, F, Ba, Si) elements through groundwater flow direction. Electrical conductivity varies between 561 and 11390 µS/cm. The chloride ion, as an indicator of groundwater salinization, is highly correlated with EC and the elements Mg, Ca, Br and Sr. Certain ratios, the saturation index and geochemical graphs indicate that both the dissolution of evaporation deposits (halite and gypsum) and cation exchange are the most important processes affecting the chemical composition of groundwater. Mass ratios of conservative elements Cl/Br for groundwater samples in Lenjanat plain range from 329 (at the borders) to 4492 (center of the plain). These data confirm the reported Cl/Br ratios for groundwater affected by the dissolution of evaporation deposits but overlap with range of Cl/Br ratios for domestic sewage effluent groundwater.

Keywords: Groundwater salinization, Natural factors, Anthropogenic Impacts, Geochemical techniques, Ionic ratios.

چکیده

به منظور شناخت منابع شوری آب زیرزمینی دشت لنجانات، از منابع آب زیرزمینی (چاه)، آب سطحی (رودخانه زاینده رود) و پساب صنایع فعال در دشت در چهار فصل نمونه برداری شده است. نتایج حاصل از سنجش‌های صحراوی و آزمایشگاهی حاکی از افزایش تدریجی غلظت عنصر اصلی Si, F, Ba, I, Sr, Br, Li, Ca, SO₄, Cl و عنصر فرعی و نادر B, Br, Mg, Ca, F, Na در مسیر جریان آب زیرزمینی از حاشیه دشت به سمت رودخانه زاینده رود و بخش میانی آبخوان است. براین اساس بازه تغییرات هدایت الکتریکی آب زیرزمینی دشت ۵۶۱-۱۱۳۹۰ µS/cm می‌باشد. یون کلر به عنوان شاخص شوری در آب‌های زیرزمینی، با پارامتر هدایت الکتریکی و عنصر Mg, Ca, Br و Sr همبستگی بالا دارد که نشان‌دهنده نقش موثر آن در تغییرات کیفی آب زیرزمینی دشت است. نسبت‌های معرف و اندیس‌های اشباع محاسبه شده برای نمونه‌های آب زیرزمینی همراه با نمودارهای ژئوشیمیایی نشان می‌دهد که انحلال رسوبات تبخیری (هالیت و ژپس) و فرایندهای تبادل یونی بیشترین تاثیر را بر ترکیب شیمیایی آب زیرزمینی دشت دارند. نسبت جرمی Cl/Br برای نمونه‌های آب زیرزمینی دشت لنجانات از ۳۲۹ در حاشیه ارتفاعات تا ۴۴۹۲ در میانه دشت بدست آمده است. داده‌های حاصل، محدوده نسبت Cl/Br گزارش شده برای آب‌های زیرزمینی متاثر از انحلال نهشته‌های تبخیری را تایید می‌کند اما با بازه نسبت مذکور برای آب‌های زیرزمینی آلوود به پساب‌های خانگی همپوشانی دارد.

واژه‌های کلیدی: شوری آب زیرزمینی، عوامل طبیعی، اثرات انسانی، روش‌های ژئوشیمیایی، نسبت‌های یونی.

* Corresponding author. E-mail Address: h-nassery@sbu.ac.ir

مقدمه

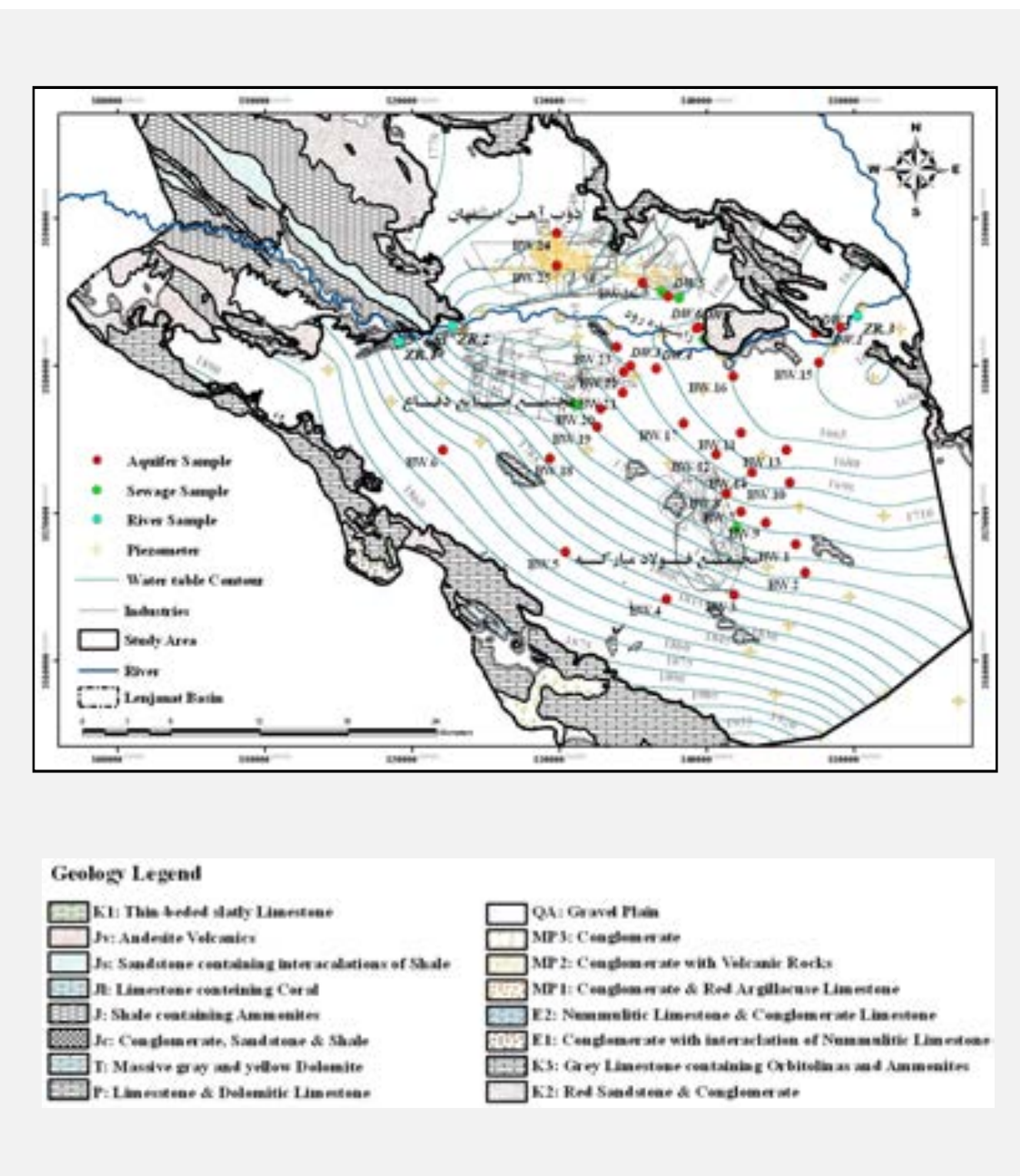
دشت لنجانات اولین منطقه همواری است که زاینده رود پس از عبور از کوهستان‌های بخش سراب خود، وارد آن می‌شود. این دشت با مساحت تقریبی ۱۷۰۰ کیلومترمربع و ارتفاع متوسط ۱۸۰۰ متر از سطح دریا، در بخش‌های غرب تا جنوب دارای اقلیم نیمه خشک و در سایر مناطق اقلیم خشک است. نیاز آب صنایع و عمده نیاز آب شرب در دشت لنجانات از رودخانه زاینده‌رود و نیاز آبی کشاورزی (به جز اراضی زیرکشت در سواحل رودخانه) و دامداری منطقه از منابع آب زیرزمینی تأمین می‌گردد. پساب‌های صنعتی حاصل از صنایع ذوب آهن، فولاد و تولید مواد شیمیایی فعال در دشت به صورت خام و نیمه تصفیه وارد حوضچه‌های تبخیری می‌شود که علاوه بر نفوذ به آبخوان، برای آبیاری فضای سبز صنایع و نیز اراضی کشاورزی پایین دست به کار می‌رود. پساب‌های خانگی بیشتر از طریق چاه (Septic tank) دفع می‌شود. کشاورزی در منطقه به صورت دوگانه (بهار و پاییز) و به روش غرقابی می‌باشد. افزایش شوری آب زیرزمینی در سال‌های اخیر، فعالیت‌های کشاورزی منطقه را به کشت غلات (جو، گندم، یونجه و شبدر) محدود کرده است. هدف این تحقیق شناسایی منابع شوری آب زیرزمینی در محدوده تمرکز فعالیت‌های صنعتی و کشاورزی دشت لنجانات با استفاده از روش‌های ژئوشیمیایی (غیرایزوتوپی) است.

محدوده مورد بررسی در جنوب غرب استان اصفهان، در فاصله $7^{\circ} 32' \text{ تا } 21^{\circ} 32'$ عرض شمالی و $51^{\circ} 1' \text{ تا } 51^{\circ} 37'$ طول شرقی واقع است و ۱۱۷۰ کیلومترمربع از دشت لنجانات را شامل می‌شود (شکل ۱). نهشته‌های موجود در زیر حوضه لنجانات

واژه شوری (Salinity) اغلب برای کل نمک‌های حل شده (گونه‌های یونی) در آب زیرزمینی بکار می‌رود و مفهومی برای بیان کیفیت آب جهت کاربردهای کشاورزی یا مصارف انسان و دام است. طبقه بندي‌های مختلفی برای شوری برمبنای نمک‌های معین و نسبت‌های آن‌ها انجام شده است، اما به طور کلی برمبنای هدایت الکتریکی، شوری آب باران معمولاً بین $5-30$ آب زیرزمینی قابل شرب در محدوده $2000-3000$ دریا از $45000-55000 \mu\text{S}/\text{cm}$ و شورابه‌های میادین نفتی عموماً بیش از $100000 \mu\text{S}/\text{cm}$ متغیر است (Kresic, 2009). منابع گوناگونی برای شورشدنگی (Salinization) آب زیرزمینی وجود دارد که با توجه به شرایط طبیعی یا تغییرات ایجاد شده توسط انسان، میزان فعالیت آن‌ها از منطقه ای به منطقه دیگر متغیر است. مهم ترین منابع در مقیاس ناحیه ای شامل آب‌های زیرزمینی شور طبیعی، انحلال هالیت، نفوذ آب شور دریا، شورابه‌های میادین نفتی، فعالیت‌های کشاورزی، تراوش نمک و نمک‌پاشی جاده‌ها است (Richter and Kreitler, 1993). در تعیین منابع شوری آب زیرزمینی روش‌های ژئوشیمی Knuth et al., 1990; Stoessell, 1997; Mariel and Vengosh, 2001; Alcala and Custodio; 2008, D'Alessandro et al., 2008, Cartwright et al., 2006, 2009, Rao, 2008 Slater et al., 1997; Hopkins and Richardson, 1999; Paine, 2003; Batayneh, 2006; Kafri et al., 2007; Poulsen et al., 2010) کاربرد فراوانی دارند. روش‌های ژئوشیمی در مناطقی با بیش از یک منبع شوری آب زیرزمینی، کارایی بیشتری دارد (Knuth et al., 1990).

لایه کرتاسه پایین مهم ترین رخمنون های ارتفاعات دشت است (شکل ۱).

مربوط به دوره های پرمین تا عهد حاضر است (Geological Survey of Iran, 1976) ژوراسیک و به صورت گسترده سنگ آهک ضخیم



شکل ۱- نقشه زمین شناسی، منحنی های تراز سطح ایستایی و موقعیت نقاط نمونه برداری از منابع آب و پساب در محدوده مطالعاتی

پساب صنایع فعال در محدوده مطالعاتی نمونه برداری شده است. نمونه ها به صورت فصلی و در انتهای دوره بارش (اردیبهشت)، فصول خشک (مرداد و آبان) و فصل بارش (بهمن) در سال ۱۳۸۷ برداشت گردیده است. شبکه نقاط نمونه برداری با توجه به جهت جریان آب زیرزمینی در دشت، موقعیت مزارع کشاورزی و محل حوضچه های تصفیه پساب صنایع انتخاب شده است (شکل ۱). براین اساس، در پایان چهار دوره نمونه برداری، در مجموع ۱۶۲ نمونه از ۳۳ منبع آب زیرزمینی (چاه های کشاورزی، خانگی و پرورابندی)، سه نقطه از رودخانه زاینده رود و پنج محل ذخیره و سرریز پساب صنایع، برداشت شده است. روش نمونه برداری بر اساس رهنمودهای USEPA (2007) و USGS (2006) بوده است.

پارامترهای درجه حرارت (Temp.), pH، هدایت الکتریکی (EC)، پتانسیل اکسیداسیون/احیا (Eh) و اکسیژن محلول (DO) با استفاده از دستگاه های پرتاپل (WTW) در محل نمونه برداری اندازه گیری شده است. به منظور سنجش غلظت آنیون ها و برخی پارامترهای اصلی و فرعی، نمونه ها در ظروف پلی اتیلنی و جهت سنجش میکروبی و TOC در ظروف شیشه ای استریل حمل گردیده است. نمونه ها در دمای کمتر از چهار درجه سانتی گراد نگهداری شده و بدليل ارسال سریع به آزمایشگاه از مواد نگهدارنده استفاده نشده است. نمونه های مذکور در کمتر از ۲۴ ساعت از زمان نمونه برداری، در آزمایشگاه مرکزی شرکت آب و فاضلاب استان اصفهان و براساس روش های APHA (2005) آزمایش گردیده است (جدول ۱).

نزدیکی منطقه لنجانات با زیرپهنه راندگی های زاگرس، گسل های موازی در آن ایجاد گردیده است. دو گسل هم روند (شمال غرب) در ارتفاعات جنوب غربی (به صورت راندگی) و شمال شرقی، مهم ترین گسل های منطقه مورد بررسی است. سنگ کف دشت لنجانات از شیل های ژوراسیک و در برخی مناطق سنگ آهک های کرتاسه است. اولین لایه های آبرفتی نهشته شده برروی سنگ کف از نوع رسوبات دانه ریز رسی - مارنی است که در صدق نمک بالاتری از سایر رسوبات دارد. آبرفت نهشته شده برروی لایه رسی - مارنی، از رس، ماسه و شن تشکیل شده که نسبت رس در آن در مناطق مختلف متغیر و حداقل ۵۰ درصد است. در بین نهشته های آبرفتی، رسوبات تبخیری به صورت لایه ها و بلورهای گچی و نمکی گسترش دارد. در صدق نمک و رس رسوبات در لایه های تحتانی بیشتر می باشد (Ministry of Energy, 1985; Jafarian, 1985; Parsabe Sepahan Andish, 2008 ۱۹۸۵). منابع اصلی تغذیه آبخوان، سنگ آهک های ضخیم لایه و خرد شده کرتاسه در ارتفاعات (به ویژه از غرب تا جنوب) است. جهت کلی جریان آب زیرزمینی به تبعیت از شیب کلی حوضه از غرب به شرق می باشد (شکل ۱). حداکثر عمق سطح ایستایی دشت در سال مطالعه (۱۳۸۷)، ۵۰ متر (شرق منطقه) و حداقل آن در مجاورت رودخانه زاینده رود حدود یک متر بوده است.

مواد و روش ها

به منظور بررسی ترکیب شیمیایی منابع آب دشت لنجانات و شناسایی عوامل موثر در شوری آب زیرزمینی، از منابع آب سطحی، آب زیرزمینی و

جدول ۱ - پارامترها و عناصر سنجش شده در محل نمونه برداری، آزمایشگاه مرکزی

شرکت آب و فاضلاب استان اصفهان و آزمایشگاه Act

	پارامتر	حد تشخیص	روش آزمایش	نوع دستگاه
پارامترهای سنجش شده در محل نمونه برداری				
pH, ORP	0.01, 1 mV	pHmeter	WTW- pH 315i, WTW- MultiLine P4	
EC, Salinity	1 µS/cm, 0.1	ECmeter	WTW - Cond 315i	
DO	0.01 mg/l, 0.1%	DOmeter	WTW- MultiLine P 4	
Temp.	0.1 °C	pH, EC & DOmeter	WTW	
پارامترهای سنجش شده در آزمایشگاه مرکزی				
F	0.01 mg/l	Spectrophotometer	Shimadzu - UV 190	
Cl	1.77 mg/l	Titration	—	
SO ₄	0.5 mg/l	Spectrophotometer	Shimadzu - UV 190	
SO ₃	0.05 mg/l	Titration	—	
S	0.02 mg/l	Titration	—	
CO ₃	1.5 mg/l	Titration	—	
HCO ₃	3.05 mg/l	Titration	—	
NO ₂	0.001 mg/l	Spectrophotometer	Shimadzu - UV 190	
NO ₃	0.5 mg/l	Spectrophotometer	Shimadzu - UV 190	
NH ₄	0.2	Kjeldahl Method	—	
PO ₄	0.001mg/l	Spectrophotometer	Shimadzu - UV 190	
TH	2.5 mg/l	Titration	—	
Alka.	2.5 mg/l	Titration	—	
C ₆ H ₅ OH	0.001 mg/l	Spectrophotometer	HACH - DR 5000	
CN	0.001 mg/l	Spectrophotometer	HACH - DR 5000	
COD	0 mg/l	Dry Thermostat Reactor	HACH - DRB 200	
TOC	0.01 mg/l	TOCmeter	Shimadzu - TOC-V _{CSH}	
Total Coliform	MPN/100 mL	Fermentation tubes	—	
Feecal Coliform	MPN/100 mL	Fermentation tubes	—	
عناصر سنجش شده در آزمایشگاه Act				
Ag, Al, As, Au, B, Ba, Be,Bi, Br, Ca, Cd, Ce, Co, Cr, Cs, Cu, Dy, Er, Eu, Fe, Ga, Gd, Ge, Hf, Hg, Ho, I, In, K, La, Li, Lu, Mg, Mn, Mo, Na, Nb, Nd, Ni, Os, Pb, Pd, Pr, Pt, Rb, Re, Ru, Sb, Sc, Se, Si, Sm, Sn, Sr, Ta, Tb, Te, Th, Ti, Tl, Tm, U, V, W, Y, Yb, Zn, Zr	0.001 -200 µg/l	ICP-OES & MS	Perkin Elmer Sciex Elan	

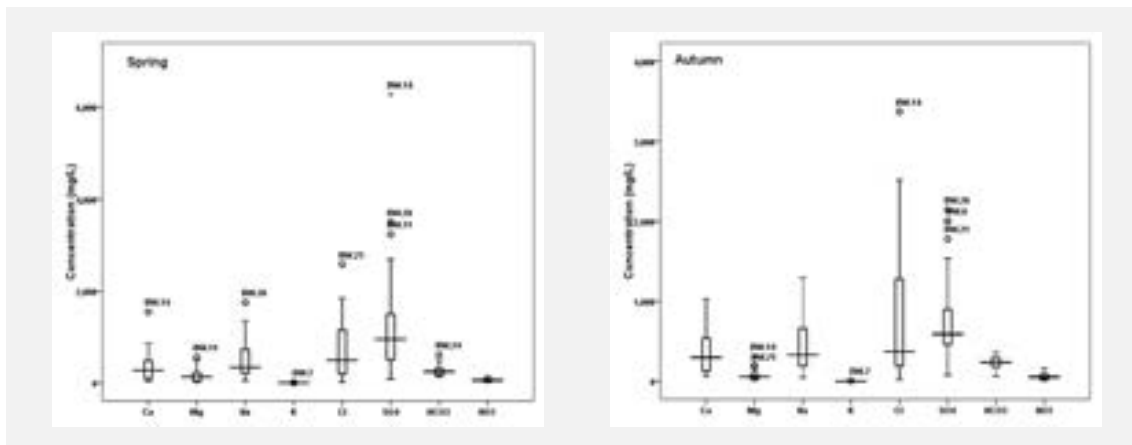
جهت شناخت واکنش های شیمیایی فعال در آبخوان استفاده شده است.

هیدرورژئوشیمی آبخوان

نقاط نمونه برداری از آب زیرزمینی دشت لنجانات شامل چاه های کم عمق دستی (Dug wells: D.W.) با عمق کمتر از ۱۲ متر، چاه های نیمه عمیق و عمیق با عمق ۳۰ تا ۱۵۰ متری و یک مورد با عمق ۳۴۶ متر (Borehole Wells: B.W.) بوده است (شکل ۱). نتایج حاصل از سنجش های صحرایی نشان می دهد که تغییرات pH آب زیرزمینی در فضول مختلف بین ۶/۶۲ تا ۷/۸ در محدوده محیط های خنثی است. بازه مقادیر پتانسیل اکسیداسیون / احیا (Eh) از +۱۱۸/۸ تا ۲/۷۷-۱۱/۸۷ mgL⁻¹ mv در چاه های عمیق و نیمه عمیق تغییر می کند که حاکی از وجود شرایط نسبتاً اکسیدی در آبخوان لنجانات است. مقدار EC چاه ها در بازه ۱۱۳۹۰-۵۶۱ µS/cm در فصل بهار نسبت به سایر فضول کاهش نشان می دهد. مقدار EC آب زیرزمینی با فاصله از ارتفاعات افزایش می یابد و در بخش های میانی دشت به حداقل مقدار (۶۰۰۰ µS/cm >) می رسد. تغییرات عمقی این پارامتر نظم کمتری نسبت به تغییرات در مسیر جریان آب زیرزمینی دارد.

عامل اصلی در مقدار بالای آب زیرزمینی غلظت بالای یون های اصلی است (شکل ۲). یون های Cl, Na, SO₄ با چولگی مثبت و تفاوت قابل توجه بین مقادیر میانگین و میانه (بویژه در مورد Cl و SO₄)، بیشترین مقادیر و تغییرات غلظت را در فضول مختلف دارد. ناهمخوانی در

جهت سنجش غلظت سایر عناصر اصلی، فرعی و نادر (۶۸ عنصر)، نمونه ها در محل با اسید نیتریک محافظت شده (pH < ۲) و در ظروف پلی اتیلنی به آزمایشگاه Act (کانادا) ارسال گردیده است. در مجموع ۹۲ عنصر و پارامتر در هر نمونه سنجش شده است. لازم به ذکر است که نمونه های آب زیرزمینی برداشت شده جهت تعیین مقادیر گونه های متحرک (Mobile Species)، شامل گونه های معلق (Suspended Species) و گونه های حل شده (Dissolved Species)، فیلتر نگردیده و تنها نمونه های پساب و آب سطحی در صورت لزوم از کاغذ صافی (۱۲ µm) گذرانده شده است. در تفسیر نتایج، برای عناصری که غلظت آن ها پایین تر از حد تشخیص دستگاه (DL <) گزارش شده و فراوانی غلظت های DL > از ۲۰ درصد کل نمونه ها کمتر بوده، روش جانشینی با DL/2 استفاده شده است (Farnham *et al.*, 2002; Gibbons, 1997) به دلیل رقیق سازی (Dilution) نمونه های دارای مقادیر کل جامدات محلول بالا، حد تشخیص دستگاه برای برخی عناصر کاهش یافته است. داده های حاصل از سنجش های صحرایی و آزمایشگاهی نمونه های آب سطحی و زیرزمینی دشت لنجانات با توجه به بازه تغییرات آن ها در محیط های زمین شناسی مشابه ارزیابی شده است. نحوه توزیع غلظت یون های اصلی و همبستگی پارامترها و عناصر در نمونه های آب زیرزمینی دشت با استفاده از نمودار های جعبه ای (Box Plots) و ماتریس همبستگی در نرم افزار SPSS Statistics بررسی گردیده است. اندیس های اشباع محاسبه شده از Parkhurst and PHREEQC طریق نرم افزار



شکل ۲- تغییرات غلظت یون های اصلی در نمونه های آب زیرزمینی دشت لنجانات در فصول بهار و پاییز

عناصر—Ca، Sr، Cl، Na، Br و SO_4 در آب زیرزمینی دشت ضرایب همبستگی مثبت بالا با پارامتر EC (>0.8) دارد (جدول ۲). همبستگی مثبت Na Br، Cl، Sr، Ca، Mg، I و B وجود منبعی یکسان برای آنها را محتمل می سازد. نیترات به عنوان شاخص آلودگی انسانی همبستگی متوسطی (>0.6) با عناصر Mg، SO₄، Cl، Br و پارامتر EC در تمام فصول دارد.

همبستگی بیش از 0.8 یون کلر به عنوان شاخص شوری در آب های زیرزمینی، در تمام فصول با پارامتر EC نشان دهنده نقش موثر آن در تغییرات کفی آب زیرزمینی دشت است. این آنیون با عناصر Ca، Mg، Br و Sr همبستگی بالا دارد. کمترین غلظت یون کلر در آبخوان لنجانات 17.73 mg l^{-1} (چاه B.W.6 در بهار و تابستان) و بیشترین غلظت آن 3475 mg l^{-1} (چاه B.W.14 در زمستان) است (شکل ۳). غلظت کلر همانند پارامتر EC به صورت تدریجی از حاشیه ارتفاعات به سمت بخش های میانی دشت افزایش می یابد و در محدوده چاه های B.W.14، B.W.21 و B.W.23 به حداقل مقدار میرسد ($>1800 \text{ mg l}^{-1}$). یون کلر به دلیل

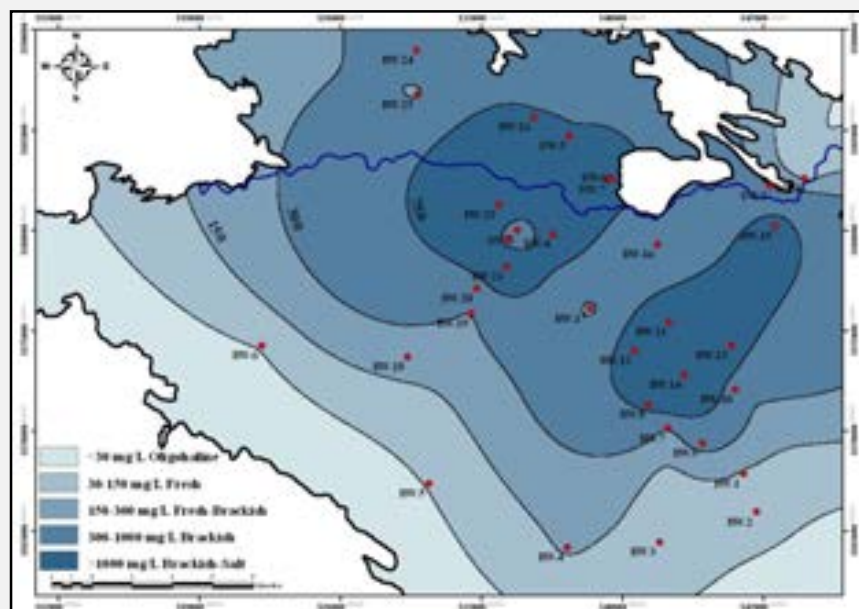
مقادیر میانگین و میانه در داده ها به دلیل وجود داده های پرت (Outlier) در غلظت های بالا است. روند تغییرات آنیونی در آب زیرزمینی دشت لنجانات از بی کربناته (HCO_3^-) در حاشیه ارتفاعات جنوب غربی به سولفاته و کلروروه (Cl) و SO_4^{2-} در نواحی مرکزی دشت است. تنوع رخساره های هیدروشیمیایی آبخوان در فصل بهار حداقل و در فصل پاییز حداقل است، اما در تمام فصول رخساره $\text{SO}_4^{2-}-\text{Na}$ غالب بوده و گسترش بیشتری دارد. بالاترین غلظت یون های آب زیرزمینی دشت لنجانات مربوط به کاتیون های Ca و Na و آنیون های Cl و SO_4^{2-} است. از بین عناصر فرعی و نادر سنجش شده، عناصر B، F، Ba، I، Sr، Br، Li و Si غلظت های بیشتری نسبت به سایر عناصر داشته که در تفسیر نتایج از آنها استفاده شده است. تغییرات زمانی غلظت اکثر عناصر اندک و تغییرات مکانی آنها بیشتر به صورت جانبی و در مسیر جریان آب زیرزمینی است. خط افقی در مستطیل (Box)، میانه داده ها است. ابتدا و انتهای مستطیل، ۷۵ و ۷۵ درصد داده ها و خطوط عمودی خارج شده در صد های ۹۰ و ۱۰ داده های می باشد.

زیرزمینی جدا نمی شود. این یون تنها از طریق انجام Hyperfiltration، فرایند تبخیر و Freezing در حال حرکت از میان برخی انواع لایه های رسی، از محلول جدا خواهد شد (Collins, 1975).

تشکیل نمک های با قابلیت انحلال بالا، عدم جذب آسان توسط رس ها یا سطح سایر کانی ها، عدم مشارکت در واکنش های اکسیداسیون/احیا و نیز عدم تشکیل کمپلکس های حل شونده مهم از آب

جدول 2- ضرایب همبستگی عناصر مورد بررسی آب زیرزمینی آبخوان لنجانات در فصل تابستان

	Ca	Mg	Na	K	Cl	SO ₄	HCO ₃	NO ₃	B	Ba	Br	Li	F	Si	Sr	I	EC	pH	Eh
Ca	1																		
Mg	0.63	1																	
Na	0.491	0.42	1																
K	0.36	0.261	0.634	1															
Cl	0.713	0.436	0.637	0.519	1														
SO ₄	0.743	0.783	0.728	0.404	0.401	1													
HCO ₃	-0.226	0.022	0.507	0.482	0.051	0.14	1												
NO ₃	0.734	0.535	0.519	0.408	0.656	0.601	-0.22	1											
B	0.127	0.039	0.754	0.61	0.403	0.334	0.64	0.256	1										
Ba	0.322	0.402	-0.378	-0.102	0.085	0.062	-0.513	0.136	-0.02	1									
Br	0.823	0.639	0.613	0.416	0.676	0.745	-0.032	0.715	0.249	0.2	1								
Li	0.473	0.371	0.855	0.803	0.534	0.659	0.571	0.46	0.788	-0.321	0.631	1							
F	0.059	0.028	0.409	0.056	0.073	0.288	0.128	0.169	0.56	-0.528	0.292	0.385	1						
Si	0.45	0.413	0.557	0.416	0.552	0.458	0.164	0.528	0.413	-0.189	0.504	0.565	0.223	1					
Sr	0.886	0.754	0.686	0.542	0.823	0.782	-0.012	0.802	0.337	0.244	0.887	0.668	0.141	0.596	1				
I	0.147	0.148	0.786	0.528	0.363	0.449	0.468	0.284	0.797	-0.57	0.321	0.742	0.636	0.422	0.348	1			
EC	0.812	0.655	0.854	0.555	0.835	0.8	0.154	0.77	0.529	-0.081	0.827	0.748	0.28	0.613	0.944	0.532	1		
pH	-0.464	-0.351	-0.14	-0.248	-0.391	0.264	0.041	-0.389	0.061	-0.26	-0.304	-0.213	0.385	-0.304	-0.486	0.036	-0.361	1	
Eh	0.455	0.329	0.131	0.245	0.378	0.252	-0.05	0.354	-0.079	0.273	0.281	0.195	-0.414	0.276	0.418	-0.044	0.344	-0.997	1



شکل 3- تغییرات غلظت عنصر کلر در نمونه های آب زیرزمینی دشت لنجانات در زمستان ۸۷

متاثر از انحلال نهشته‌های تبخیری و آلوده به پساب خانگی قرار می‌گیرد. بررسی غلظت عناصر I، Br و B در چاههای پایین دست مناطق مسکونی، حاکی از عدم تاثیر پساب‌های خانگی بر شوری آب زیرزمینی است.

در مجموع، انحلال نهشته‌های تبخیری آبرفت دشت لنجانات و فرایند تبادل یونی در رسوبات دانه‌ریز آن، عامل اصلی شوری آب زیرزمینی این دشت است. از طرفی پمپاژ مدادوم آب زیرزمینی با EC $> 4000 \mu\text{S}/\text{cm}$ و استفاده از آن جهت آبیاری غرقابی در شرایط اقلیمی خشک دشت مورد بررسی سبب تجمع عناصر در خاک و بازگشت مجدد آن‌ها همراه با فروشویی ترکیبات نیتروژن به آب زیرزمینی شده است.

بحث

براساس خصوصیات هیدروژئوشیمیایی نمونه‌های آب زیرزمینی دشت لنجانات و با در نظرداشتن موقعیت جغرافیایی، شرایط زمین شناسی، هیدروژئولوژی و اقلیم منطقه و نیز فعالیتهای کشاورزی و صنعتی موجود در دشت، منابع احتمالی شوری آب زیرزمینی آبخوان می‌تواند شامل انحلال نهشته‌های تبخیری آبرفت، بالآمدگی (Upconing) شورابه‌های قدیمی، تبخیر-ترعرق و منابع انسانی (آب برگشتی کشاورزی و پساب‌های صنعتی و خانگی) باشد. در ادامه، تاثیر هر یک از منابع فوق بر شوری آب زیرزمینی دشت لنجانات بررسی می‌شود.

انحلال نهشته‌های تبخیری آبرفت وجود نهشته‌های تبخیری به صورت لایه‌های

رفتار شیمیایی یون Br مشابه Cl است اما غلظت آن بسیار کمتر می‌باشد (Hem, 1986). یون‌های کلر و برماید به دلیل محافظه کاربودن به عنوان مرجعی جهت بررسی تغییرات شیمیایی در محیط‌های آبی زیر سطحی استفاده می‌شود. غلظت Br در آب زیرزمینی دشت مطالعاتی در محدوده 0.04 mg l^{-1} (چاه B.W.6) تا 1.72 mg l^{-1} (چاه B.W.14) تغییر می‌کند. روند تغییرات غلظت Br تقریباً منطبق بر تغییرات یون Cl و به صورت افزایشی به سمت میانه دشت است. به طور کلی، روند تغییرات و محل تمرکز غلظت عناصر Cl، Sr و Br در آب زیرزمینی دشت لنجانات مشابه است. عناصر I، Li و B زیرزمینی دشت لنجانات روند تغییرات غلظت مشابه با یکدیگر دارند. محل تمرکز غلظت این عناصر در آبخوان اندکی متفاوت از عناصر Cl، Sr و Br است به طوری که بیشترین غلظت‌ها در چاه‌های کم عمق D.W.5 تا D.W.7 و چاه B.W.26 در شمال رودخانه متتمرکز است. عناصر F و Si همبستگی کمی با سایر عناصر مورد بررسی دارد و تغییرات غلظت منظمی نشان نمی‌دهد.

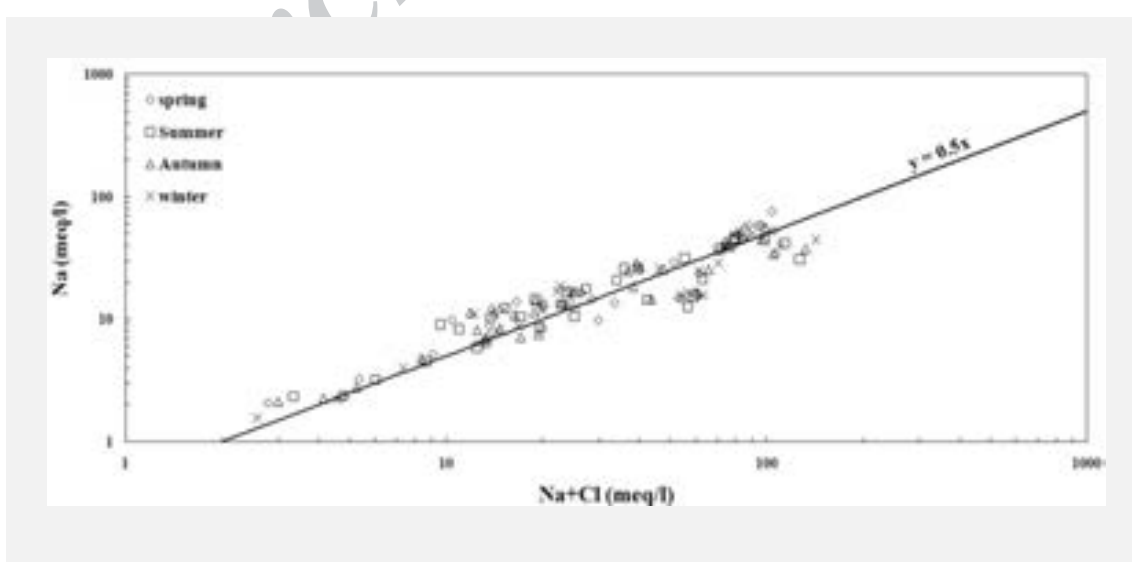
نتایج

براساس نسبت‌های معرف، اندیس‌های اشباع محاسبه شده و نمودارهای ژئوشیمیایی، انحلال رسوبات تبخیری (هالیت و ژیپس) و فرایندهای تبادل یونی بیشترین تاثیر را بر ترکیب شیمیایی آب زیرزمینی دشت لنجانات دارد. نسبت جرمی عناصر محافظه کار Cl/Br برای نمونه‌های آب زیرزمینی مورد بررسی از ۳۲۹ در نقاط حاشیه ارتفاعات (چاه D.W.6) تا ۴۴۹ در میانه دشت (چاه B.W.4) بدست آمده است که در بازه آب‌های زیرزمینی

زیرزمینی (کاتیون های با بار بیشتر و شعاع هیدراته کوچکتر) در رس ها، سبب آزاد شدن سدیم گردیده است (Natural softening).

نسبت $\text{Na}/\text{Na}+\text{Cl} < 0.5$ نشان دهنده کاهش غلظت Na بدلیل وجود رس های غنی از Ca در مسیر جریان آب زیرزمینی با شوری بالا ($\text{TDS} > 500$) است که سبب آزاد شدن یون های Ca و Mg در آب زیرزمینی و جذب Na توسط رس ها می شود (فرایند تبادل یونی معکوس). نسبت مذکور در چاه های بخش میانی دشت (B.W14 تا B.W11) و (B.W23) با رخساره Ca-Cl غالب است. نهشته های هالیتی اغلب با رسوبات ژیپس و ایندرید همراه است. نسبت $\text{Ca}/\text{Ca}+\text{SO}_4 < 0.5$ در pH خنثی بدلیل کاهش غلظت یون Ca در آب زیرزمینی در اثر فرایند تبادل یونی یا رسوب کلسیت است در صورتی که $\text{Ca}/\text{Ca}+\text{SO}_4 > 0.5$ افزایش غلظت یون Ca از منبعی غیر از انحلال ژیپس (کربنات ها) می باشد. فرایند مذکور مطابق با تبادل یونی معکوس در نمونه های آب زیرزمینی دشت مطالعاتی است.

گچی و نمکی و یا بلورهای گچ و نمک در بین نهشته های رس، شن و ماسه آبرفت و افزایش میزان آنها به سمت اعمق آبخوان دشت لنجانات گزارش شده است (Ministry of Energy, 1985; Jafarian, 1985; Iran Steel Co, 1973; Parsabe Sepahan Andish, 2008). براین اساس و به منظور بررسی تاثیر نهشته های مذکور بر ترکیب آب زیرزمینی دشت از نسبت های معرف (Hounslow, 1995) استفاده شده است. با توجه به نبود تغییرات فصلی قابل توجه در غلظت یون های اصلی، فرایندها برای هر نمونه حداقل در سه فصل غالب بوده است. با در نظرداشتن عدم قطعیت ± 0.01 ، انحلال رسوبات تبخیری هالیت ($\text{Na}/\text{Na}+\text{Cl} = 0.5$) و ژیپس ($\text{Ca}/\text{Ca}+\text{SO}_4 = 0.5$) و فرایندهای تبادل یونی بیشترین تاثیر را بر ترکیب شیمیایی آب زیرزمینی دشت دارد. نسبت $\text{Na}/\text{Na}+\text{Cl} > 0.5$ در نمونه های مورد بررسی حاکی از افزایش غلظت Na و ورود آن به آب زیرزمینی از منبعی غیر از انحلال هالیت است (شکل ۴). به عبارت دیگر فرایند تبادل کاتیونی و جانشینی یون های Ca و Mg محلول در آب



شکل ۴- ارتباط یون های Na و Cl در نمونه های آب زیرزمینی دشت لنجانات در فصول سال ۸۷

حدود ۲۹۰، نزولات جوی کمتر از ۲۰۰، بالا آمدگیری شورابه ها (بقایای آب دریایی تبخیر شده) کمتر از ۳۰۰ (شورابه های میادین نفتی کمتر از ۴۰۰)، سنگ های تبخیری حاوی هالیت بیشتر از ۳۰۰ (اغلب بیشتر از ۱۰۰۰)، پساب های خانگی ۳۰۰ تا ۹۰۰، آب زیرزمینی آلوده به پساب خانگی ۱۵۰ تا ۵۴۰ و آب برگشتی کشاورزی کمتر از ۲۰۰ بدست آمده است (Davis *et al.*, 1998, 2001; Vengosh and Pankratov, 1998; Hudak, 2003 برای نمونه های آب زیرزمینی دشت لنجانات از ۲۲۹ در نقاط حاشیه ارتفاعات (چاه B.W.6) تا ۴۴۹۲ در میانه دشت (چاه D.W.4) حاصل شده است (جدول ۳) که در بازه آب های زیرزمینی متأثر از انحلال سنگ های تبخیری و آلوده به پساب خانگی قرار می گیرد.

اندیس های اشباع حاصل از مدل سازی ژئوشیمیایی آبخوان حاکی از محیط شیمیایی مناسب جهت انحلال هالیت و ژیپس (اندیس اشباع منفی) و رسوبگذاری کلسیت (اندیس اشباع مثبت) است. با درنظرداشتن نتایج فوق، از نسبت عناصر Cl به Br به عنوان شاخصی مهم در شناسایی منابع شوری آب زیرزمینی و تعیین درجه تکامل شورابه ها، استفاده شده است. خصوصیات شیمیایی این عناصر مشابه است و معمولاً در فرم یونی به صورت محافظه کار عمل می کنند. هرچند فرض محافظه کار بودن، بویژه در مورد یون Br به دلیل جذب توسط نهشته های دانه ریز (رس و شیل)، در تفسیر برخی داده ها محدودیت ایجاد می کند (Davis *et al.*, 1998, 2001) طبق تحقیقات انجام شده در مناطق مختلف، نسبت جرمی Cl/Br (Mass ratio) برای آب دریا

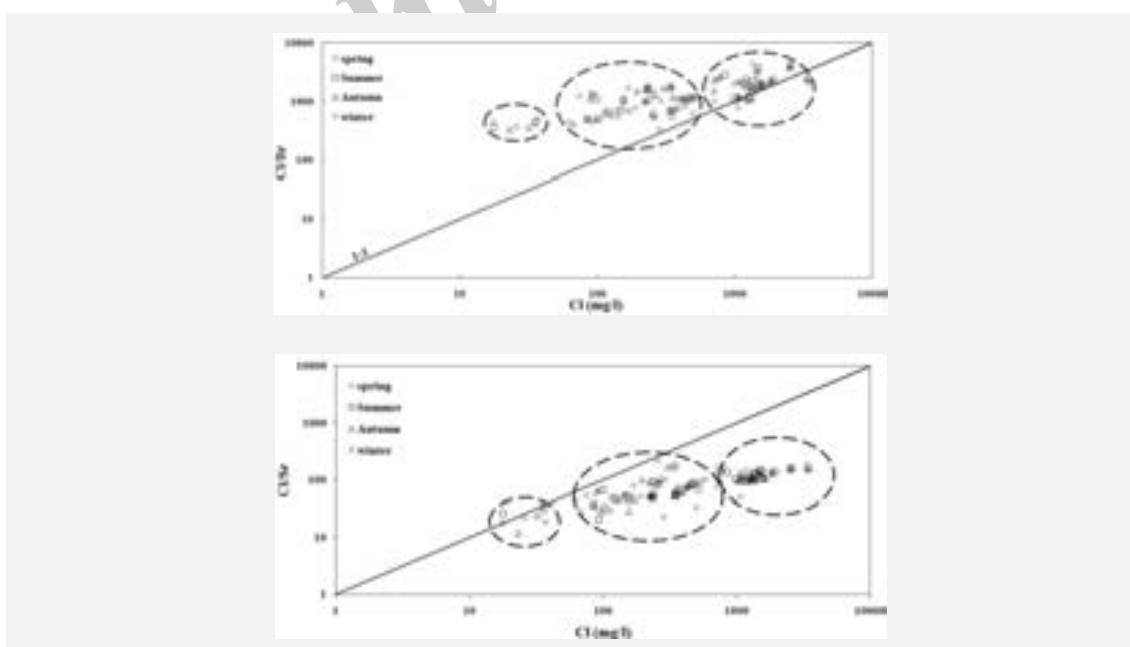
جدول ۳- مقادیر نسبت های جرمی Cl/Sr و Cl/Br در نمونه های آب زیرزمینی دشت لنجانات

	BW.1	BW.2	BW.3	BW.4	BW.5	BW.6	BW.7	BW.8	BW.9	BW.10	BW.11	BW.12	BW.13	BW.14	BW.15	BW.16	BW.17	
Cl/Br	Spring	692	512	439	443	369	443	1638	1073	661	1087	613	1669	1418	760	2149	1800	999
	Summer	709	501	514	557	443	355	1702	1171	702	1093	2000	1857	1128	2432	1218	1672	1096
	Autumn	580	408	496	745	355	329	1694	1418	702	1141	1900	1783	1025	2406	1182	1115	987
	Winter	594	464	634	553	394	512	1502	1005	778	1129	1981	2596	1081	2020	1001	1765	980
Cl/Sr	Spring	49	37	30	45	22	18	166	93	53	70	34	122	133	50	103	53	51
	Summer	50	37	34	52	30	27	174	97	55	68	105	135	104	167	70	49	58
	Autumn	45	29	29	59	24	12	167	106	53	74	103	121	95	155	72	29	53
	Winter	48	34	30	56	35	19	216	103	57	77	103	138	110	145	108	46	54
	BW.18	BW.19	BW.20	BW.21	BW.22	BW.23	BW.24	BW.25	BW.26	DW.1	DW.2	DW.3	DW.4	DW.5	DW.6	DW.7		
Cl/Br	Spring	850	985	826	2305	2517	3911	1182	567	1986	1241	1684	1773	4492	1223	1725	1872	
	Summer	1040	670	1152	2394	2837	4255	1096	594	2411	1103	1672	1317	3771	1722	2246	1980	
	Autumn	709	1297	1509	2305	2600	3873	1023	1500	2155	1108	1596	1560	3424	1157	2178	1728	
	Winter	773	1035	1180	1952	2418	3731	1135	522	2162	1323	329	1830	3310	1182	1471	1795	
Cl/Sr	Spring	42	76	74	133	135	152	93	86	95	54	80	57	138	113	100	96	
	Summer	51	49	84	138	135	159	88	82	111	66	92	21	150	134	111	94	
	Autumn	46	104	124	135	166	152	83	100	94	61	89	51	141	110	106	100	
	Winter	51	101	100	130	164	158	83	88	104	65	23	61	131	134	92	108	

یون Br در آب زیرزمینی دشت می تواند حاصل اکسیداسیون مواد ارگانیک در رسوبات دانه ریز آبخوان باشد (Davis *et al.*, 1998). عنصر Br به دلیل اندازه یونی بزرگ در ساختار معدنی هالیت وارد نمی شود براین اساس اتحال هالیت باعث افزایش سریع نسبت Cl/Br با افزایش غلظت Cl می گردد (Cartwright, 2006) که در نمونه های نزدیک به خط ۱:۱ (چاه های بخش میانی دشت) در شکل ۶ مشهود است.

یون های Cl و Br در تمام فضول همبستگی بیش از ۰/۸ با عنصر Sr در نمونه های آب زیرزمینی دشت دارد. رفتار ژئوشیمیایی یون Sr مشابه با Ca است اما برخلاف Ca در شرایط اشباع محدود نمی شود. این عنصر بوسیله واکنش های نامتجانس (Ca-rich) از کانی های غنی از Ca (Incongruent) مانند کلسیت، ژیپس و ایندرید آزاد می شود و از آنجا که بصورت تبیک از واکنش های آب / سنگ

محدوده تغییرات نسبت Cl/Br در نمونه های آب زیرزمینی دشت لنجانات متاثر از تفاوت قابل توجه غلظت یون های Cl و Br است. غلظت بالای عنصر کلر و روند افزایش سریع آن در مسیر جريان آب زیرزمینی دشت نسبت به غلظت اندک و Cl/Br افزایش تدریجی عنصر برم، در نمودار نسبت Cl/Br در مقابل یون Cl مشهود است (شکل ۵). محدوده وسیع غلظت کلر و افزایش سریع آن به صورت سه محدوده مجزا با غلظت $\text{Cl}^{-1} < 60 \text{ mg l}^{-1}$ ، $60 \text{ mg l}^{-1} < \text{Cl}^{-1} < 600 \text{ mg l}^{-1}$ و $\text{Cl}^{-1} > 600 \text{ mg l}^{-1}$ در نمودار مشخص شده است. روند تکاملی مذکور از چاه های B.W.5 و B.W.6 در حاشیه ارتفاعات (Cl $< 60 \text{ mg l}^{-1}$) آغاز شده و به چاه های بخش میانی دشت با حداکثر غلظت یون کلر (Cl $> 600 \text{ mg l}^{-1}$) منتهی می شود. غلظت یون برم از $1/72 \text{ mg l}^{-1}$ تا $1/04 \text{ mg l}^{-1}$ در چاه B.W.6 در چاه B.W.14 افزایش دارد. افزایش اندک و تدریجی



شکل ۵- تغییرات نسبت یون Cl با افزایش غلظت یون Cl و Sr/Cl در نمونه های آب زیرزمینی دشت لنجانات

پساب‌های خانگی بر شوری آب زیرزمینی است
(بخش ۴-۳).

بالاآمدگی شورابه‌های قدیمی

دشت لنجانات دارای حوضه آب زیرزمینی بسته‌ای است که از طریق ارتفاعات اطراف تغذیه می‌شود. شرایط باتلاقی و کولاوی حاکم بر منطقه در دوران سوم سبب تشکیل نهشته‌های تبخیری به صورت لایه‌ها و بلورهای گچی و نمکی در آبرفت دشت شده است (Ministry of Energy, 1985). از این‌رو با وجود فراوانی نهشته‌های دانه‌ریز و نفوذپذیری اندک آن‌ها، تشکیل شورابه‌های طبیعی در بخش‌های زیرین آبخوان و بالاآمدگی آن‌ها در اثر پمپاژ زیاد محتمل است. با توجه به روند تغییر ترکیب شیمیایی آب زیرزمینی در دشت لنجانات (از حواشی به سمت بخش میانی)، محل‌های تمرکز غلظت عناصر در فصول مختلف و ضخامت آبرفت در بخش‌های میانی دشت ($> 150\text{ m}$) احتمال وجود بالاآمدگی شورابه‌های قدیمی در چاه‌های B.W.26, B.W.23, B.W.21 مرکزیت چاه B.W.14 بیشتر است. یون‌های غالب در این چاه‌ها Na^+ , Ca^{2+} , Cl^- و SO_4^{2-} است. عناصر Sr^{2+} و I^- نیز غلظت‌های بالایی نشان می‌دهد. محدوده تغییرات پارامترهای pH , Eh و DO این چاه‌ها نشان از وجود شرایط خنثی و اکسیدی در آبخوان دارد در صورتی که محیط‌های شورابه‌ای زیرسطحی پتانسیل اکسیداسیون/احیای پایین و pH کمتر از ۷ (اسیدی) است (Collins, 1997). نسبت Cl/Br در نمونه‌های آب زیرزمینی چاه‌های مورد بررسی در محدوده 613 تا 4255 (B.W.11) (B.W.23) تغییر می‌کند.

حاصل می‌شود، شاخص خوبی برای فرایندهای ژئوشیمیایی فعال در آبخوان است (Edmunds *et al.*, 2000). غلظت عنصر Sr از 0.66 mg l^{-1} در حاشیه ارتفاعات (B.W.6) تا 24 mg l^{-1} در بخش میانی دشت (B.W.14) افزایش می‌یابد. نسبت Cl/Sr بدست آمده برای نمونه‌های آب زیرزمینی دشت لنجانات در محدوده 12 تا 216 است (جدول ۳). تغییرات نسبت Cl/Sr در مقابل عنصر Cl مشابه با نمودار Cl/Br و متأثر از غلظت بالای Cl است (شکل ۵). در مجموع، شباهت روند افزایش تدریجی غلظت عنصر Sr با عناصر محافظه کار Br و Cl نشان دهنده فعال بودن واکنش‌های آب/سنگ در آبخوان و افزایش غلظت عناصر با زمان ماندگاری در مسیر جريان آب زیرزمینی دشت است.

با توجه به شواهد ژئوشیمیایی ذکر شده، انحلال نهشته‌های تبخیری آبرفت دشت همراه با فرایند تبادل یونی و واکنش‌های آب/سنگ عوامل شوری آب زیرزمینی دشت لنجانات می‌باشد. براساس تحقیق انجام شده توسط Vengosh and Pankratov (1998)، نسبت Cl/Br برای آب زیرزمینی آلووده به پساب خانگی $540-150$ بدست آمده است بنابراین در مورد چاه‌های B.W.1 تا 600 B.W.6 محدوده مطابعاتی با نسبت < 600 Cl/Br احتمال تاثیر از پساب‌های خانگی نیز وجود دارد. چاه‌های مذکور در منتهی‌الیه حاشیه جنوب غربی دشت (مجاور ارتفاعات) قرار دارد و به دلیل دور بودن از مراکز سکونتی احتمال آلووده شدن آب زیرزمینی در این چاه‌ها به پساب خانگی بسیار ضعیف است. بررسی غلظت عناصر I و Br در این چاه‌ها، حاکی از عدم تاثیر

همبستگی بالای (>0.8) عنصر Li با عنصر Na می تواند به دلیل آزادشدن Li در فرایند تبادل کاتیونی در اثر جذب یون K توسط کانی های رسی باشد (Collins, 1975). تمرکز یون های I و B نیز همانند یون Li در چاه های کم عمق داشت بیش از چاه های مورد بررسی است. در مجموع بررسی های ژئوشیمیابی مذکور نشان می دهد که تاثیر پدیده بالا آمدگی بر شوری آب زیرزمینی داشت لنجانات در چاه های نمونه برداری شده در این تحقیق ناچیز است هرچند وجود لایه های آب زیرزمینی شورتر در اعماق بیشتر دور از انتظار نمی باشد.

تبخیر - تعرق

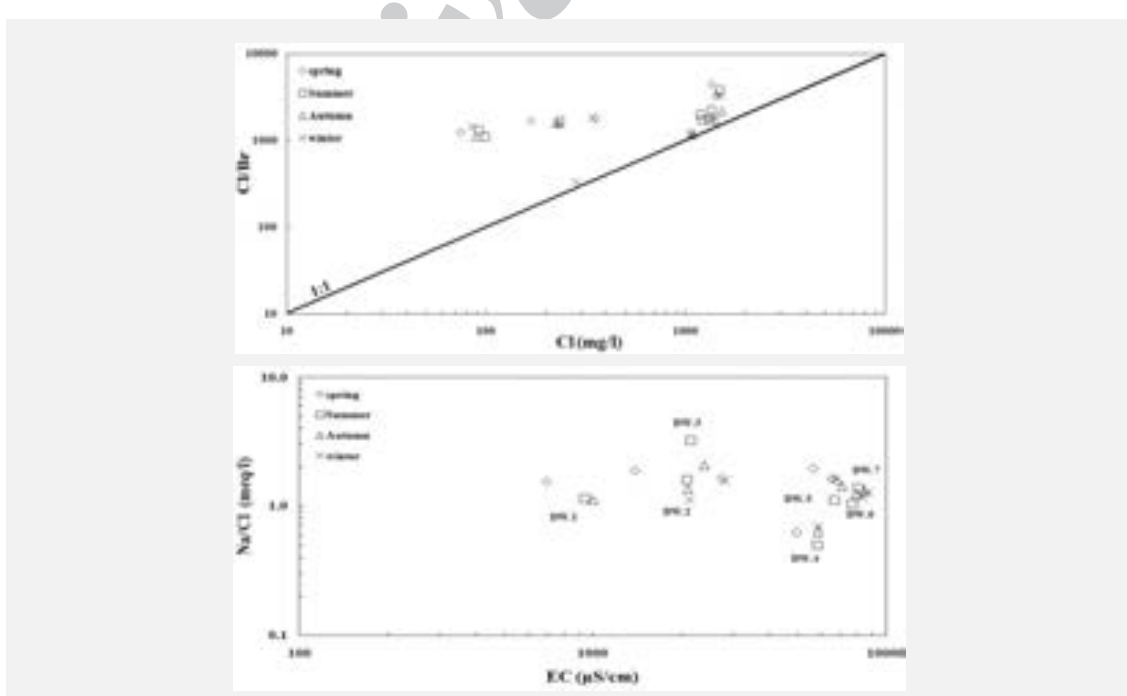
دشت لنجانات دارای اقلیم خشک و نیمه خشک است. میانگین بارش سالانه منطقه 140 mm و حداقل تبخیر ماهانه بیش از 300 mm و در تیرماه است. با توجه به سطح ایستابی بالا به ویژه در بخش شرقی آبخوان شمال رودخانه زاینده رود و سواحل آن (5 m) وجود رسوبات دانه ریز در نهشته های آبرفتی داشت، احتمال شوری آب زیرزمینی تحت تاثیر پدیده تبخیر در این مناطق وجود دارد. براین اساس از چاه های کم عمق داشت (D.W.1 تا D.W.7) جهت بررسی تاثیر تبخیر بر شوری آب زیرزمینی استفاده شده است. لازم به ذکر است که تعرق گیاهی با توجه به پوشش گیاهی طبیعی تنک در منطقه، محدود به اراضی کشاورزی و جنگل های مصنوعی (بیشتر از درختان سوزنی برگ) اطراف صنایع است. یون محافظه کار کلر در شرایط طبیعی تنها از طریق فرایند تبخیر از محلول آبی جدا می شود (Collins, 1975; Hounslow, 1995)

براساس مقادیر بدست آمده نسبت Cl/Br در شورابه های قدیمی (<300 یا >400) در سایر مناطق Davis *et al.*, 1998; Vengosh and Pankratov, 1998 بررسی در بازه آب های زیرزمینی متاثر از انحلال سنگ های تبخیری (>300) قرار می گیرد. عمق چاه های مورد بررسی کمتر از 120 متر و حداقل عمق سطح ایستابی در آن ها در سال نمونه برداری 33 متر (B.W.14) بوده است. به طور کلی احتمال وجود شورابه های قدیمی در اعماق >100 متر به دلیل Flushing آب زیرزمینی توسط آب های نفوذی اندک است (Richter and Kreitler, 1993). با این وجود فراوانی نهشته های رسی در آبرفت دشت ممکن است سرعت فرایند مذکور را کاهش و زمان ماندگاری آب زیرزمینی را افزایش دهد. یکی از شاخص های مدت زمان تماس آب/سنگ در آبخوان، غلظت Li در آب زیرزمینی است (Edmunds *et al.*, 2000; and Kreitler, 1993) افزایش منظم غلظت Li در مسیر جريان آب زیرزمینی از 0.01 mg l^{-1} در حواشی داشت تا 0.017 mg l^{-1} در بخش های میانی آن نشان دهنده روند تکامل ترکیب شیمیابی آب زیرزمینی و افزایش زمان ماندگاری است. نکته قابل توجه تمرکز غلظت این عنصر در نمونه های مربوط به چاه های کم عمق ($D.W.5$ و $D.W.6$) محدوده مورد بررسی است. غلظت عنصر Li در چاه های با احتمال بالا آمدگی شورابه های قدیمی در دشت، کمتر از چاه های کم عمق می باشد به طوری که حداقل غلظت این عنصر مربوط به چاه های B.W.26 (بالا دست چاه های کم عمق مذکور) و B.W.14 با غلظت 0.1 mg l^{-1} است.

به پراکندگی نمونه های آب زیرزمینی چاه های کم عمق دشت لنجانات در نمودار مذکور (شکل ۶) تأثیری بر تاثیر ناچیز فرایند تبخیر بر شوری آب زیرزمینی داشت مطالعاتی است.

افزایش غلظت های یونی آب زیرزمینی در اثر تبخیر سبب افزایش نسبت های یونی (بدون تغییر در نسبت های مولار اجزای شیمیایی) با شیب واحد می گردد. براین اساس تاثیر احتمالی فرایند تبخیر بر شوری آب زیرزمینی از طریق شیب نزدیک به واحد (نسبت ۱:۱) نمودارهای دو متغیره عناصر اصلی در مقابله یون کلر در مقیاس لگاریتمی قابل تشخیص است (Richter and Kreitler, 1993). بررسی Sr و SO_4 , Br , Mg , Ca در برابر غلظت یون های در چاه های کم عمق منطقه نشان دهنده تفاوت قابل توجه از شیب واحد است.

از یون مذکور در بررسی تاثیر فرایند تبخیر بر شوری آب زیرزمینی استفاده می شود. تبخیر سبب افزایش شوری آب زیرزمینی بدلیل افزایش غلظت یون کلر در آن می گردد اما نسبت Cl/Br ثابت می ماند (Moore *et al.*, 2008). بنابراین روند افزایشی نسبت Cl/Br با افزایش Cl در نمونه های آب زیرزمینی چاه های کم عمق منطقه (شکل ۶) احتمال تاثیر مستقیم فرایند تبخیر بر شوری آب زیرزمینی داشت لنجانات را اندک می سازد. افزایش غلظت عناصر در آب زیرزمینی بدون تغییر در ترکیب کاتیونی و در نتیجه ثابت ماندن نسبت های یونی، تاثیر فرایند تبخیر در شوری آب زیرزمینی را محتمل می سازد (Richter and Kreitler, 1993). براین اساس عدم تغییر در نسبت یونی Na/Cl در مقابله افزایش EC نشان دهنده تاثیر پدیده تبخیر بر آب زیرزمینی است (Jankowski and Ian Acworth, 1997).



شکل ۶- تغییرات نسبت یونی Cl/Br در مقابل غلظت یون Cl و تغییرات نسبت Na/Cl در مقابل پارامتر EC در نمونه های آب زیرزمینی چاه های کم عمق دشت لنجانات

آب زیرزمینی مناطق کشاورزی به کمتر از ۲۰۰ می‌شود (Vengosh and Pankratov, 1998). بیشترین سوم مصرفی در دشت لنجانات علف‌کش‌ها و حشره‌کش‌هایی است که از Br در ساختار شیمیایی آن‌ها استفاده نمی‌جشود (Oxadiargyl, Oxadiazon, Butachlor, Diazinon, Phypronyl, ...). اساس مقدار نسبت Cl/Br در دشت لنجانات > 300 و در محل‌های تمرکز فعالیت‌های کشاورزی > 1000 است که تاییدی بر تاثیر اندک استفاده از آفت‌کش‌ها بر آب زیرزمینی دشت است. بیشترین حاصلخیز‌کننده‌های شیمیایی مصرفی در دشت Lنجانات از نوع ازته و فسفاته است (Organization of Esfahan, 2009). با وجود استفاده زیاد از فسفات در اراضی کشاورزی دشت، بدلیل جذب این آنیون توسط ذرات خاک و عدم تحرک آن در محیط‌های آبی، محدوده غلظت آن در آب زیرزمینی $mg\text{l}^{-1} < 0.001$ تا 0.01 است. قابلیت انحلال و تحرک بالای یون نیترات سبب غلظت‌های بالای آن در زمین‌های زراعی دشت لنجانات شده است. بازه تغییرات نیترات در آب زیرزمینی محدوده مطالعاتی $mg\text{l}^{-1} 56 / 167$ - 303 و روند افزایش غلظت آن از حاشیه ارتفاعات تغذیه کننده به سمت چاه‌های بخش میانی دشت است. بیشترین غلظت‌ها ($mg\text{l}^{-1} > 100$) مربوط به چاه‌های B.W.23، B.W.21، B.W.8، B.W.14 و B.W.6 (تابستان و پاییز) می‌باشد. نیترات در نمونه‌های آب زیرزمینی منطقه در تمام فضول همبستگی متوسطی (> 0.06) با پارامتر EC و عناصر اصلی، فرعی و نادر مورد بررسی دارد. همبستگی بالای (> 0.08) نیتروژن کل

با توجه به نتایج فوق، آب زیرزمینی در مناطق کم عمق نمونه‌برداری شده در دشت لنجانات به طور مستقیم تحت تاثیر فرایند تبخیر قرار ندارد اما به دلیل شرایط اقلیمی حاکم بر دشت و میزان تبخیر بالا در آن، احتمال تاثیر مستقیم فرایند تبخیر در مناطق مجاور رو دخانه و اثر غیر مستقیم این فرایند از طریق آبیاری شالیزارها و اراضی کشاورزی وجود دارد.

منابع انسانی

کشاورزی و صنعت مهم‌ترین فعالیت‌های انسانی در دشت لنجانات است. براین اساس آب‌های برگشتی کشاورزی و نشت و سرریز از حوضچه‌های دفع پساب صنایع مهم‌ترین منابع احتمالی موثر بر کیفیت آب زیرزمینی دشت است. دفع پساب‌های خانگی از طریق چاه، با توجه به عمق سطح ایستابی (30 متر) در محدوده مطالعاتی می‌تواند باعث تغییر کیفیت آب زیرزمینی شود. تاثیر هر یک از منابع مذکور در شوری آب زیرزمینی دشت لنجانات در ادامه بررسی شده است.

فعالیت‌های کشاورزی

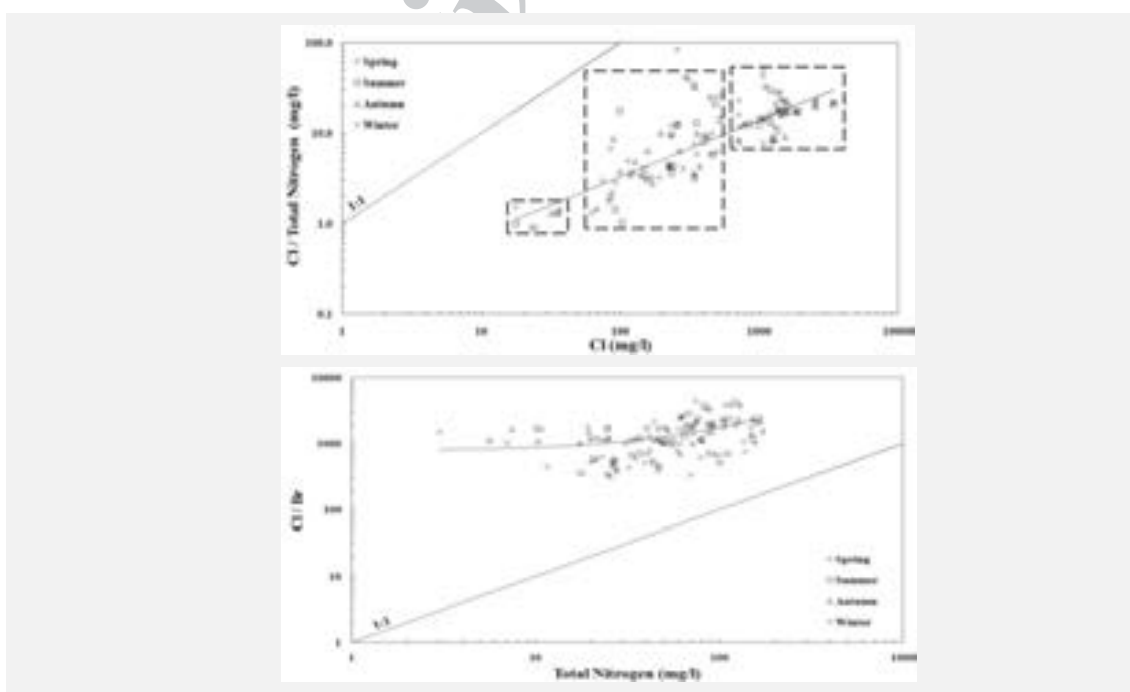
منابع احتمالی آلودگی آب‌های زیرزمینی دشت لنجانات توسط فعالیت‌های کشاورزی شامل: استفاده از آفت‌کش‌ها و حاصلخیز‌کننده‌های شیمیایی و آب برگشتی آبیاری است.

مقدادیر اندک پارامترهای TOC ($mg\text{l}^{-1} < 5$) و COD ($mg\text{l}^{-1} < 58$) در نمونه‌های آب زیرزمینی دشت حاکی از تاثیر ناچیز کاربرد آفت‌کش‌ها در آلودگی آب زیرزمینی است. کاربرد وسیع ترکیبات در آفت‌کش‌ها سبب کاهش نسبت Cl/Br در

(شکل ۷) با افزایش غلظت کلر (Total Nitrogen) می‌تواند بدلیل تفاوت منشا یون های Cl، Br و Sr با ترکیبات نیتروژن در آبخوان باشد. تغییر اندازه نسبت آنیون های Cl/Br در مقابل افزایش غلظت نیتروژن کل (شکل ۷) نیز حاکی از تفاوت منشا آنها در آب زیرزمینی محدوده مطالعاتی است.

یکی از اجزا مهم در آب آبیاری و از عناصر مهم در مطالعه منشا شوری آب زیرزمینی یون B است که همبستگی ضعیفی ($0.30 < R^2 < 0.40$) با نیتروژن کل در نمونه های مورد بررسی دارد. با توجه به این که منشا غیرطبیعی یون B در مناطق کشاورزی، حاصلخیز کننده ها و آفت کش ها است، همبستگی ضعیف آن با نیتروژن کل در نمونه های آب زیرزمینی دشت وجود منشا طبیعی این عنصر را محتمل می سازد. به دلیل تحرک و عدم جذب بالا توسط کانی های رسی، غلظت B در آب های

(Total Nitrogen) در فصول بهار و تابستان با عنصر Sr نشان دهنده فروشی ترکیبات نیتروژن با آب های نفوذی به آبخوان است. ترکیبات نیتروژن به عنوان مهم ترین شاخص آلدگی مناطق کشاورزی، با آنیون های محافظه کار Cl و Br و کاتیون های شاخص واکنش آب / سنگ، Sr و Ca، بیشترین همبستگی را دارد. حاصلخیز کننده های کلروره مهم ترین منابع افزایش یون کلر در مناطق کشاورزی است. کلرور پتانسیم تنها حاصلخیز کننده مصرفی حاوی یون Cl در دشت لنجانات است که کمتر از هشت درصد از کل حاصلخیز کننده های مصرفی سالیانه در منطقه را شامل می شود (Organization of Esfahan, 2009). با درنظر داشتن روند آرام تغییر نسبت های Cl/Sr و Cl/Br در برابر افزایش غلظت Cl (شکل ۵) در نمونه های آب زیرزمینی دشت، افزایش سریع نسبت جرمی



شکل ۷- تغییرات نسبت Cl/Total Nitrogen در مقابل غلظت کلر (راست) و غلظت نیتروژن کل در مقابل نسبت Cl/Br (چپ) در نمونه های آب زیرزمینی دشت لنجانات

در شوری، در پساب ها و چاههای بالادست حوضچه‌های ذخیره پساب مجتمع فولاد مبارکه (M.S.)، کارخانه ذوب آهن (E.S.1) و گروه شیمیایی (C.S.1 و C.S.2) با یکدیگر مقایسه شده است. بدلیل آبگیری صنایع دشت از رودخانه زاینده رود، بیشتر عناصر غلظت‌های کمتری از عناصر مشابه در آبخوان دارد.

در پساب مجتمع فولاد مبارکه، از بین عناصر موثر در شوری آبخوان، تنها غلظت یون Cl افزایش قابل توجهی نسبت به چاههای بالادست دارد. حداقل غلظت این عنصر در چاه 7.W.B.7، واقع در مسیر جریان آب زیرزمینی در ۳۵۰ متری پایین دست حوضچه‌ها، $mg\text{l}^{-1}$: ۳۴۳/۹۷ (بهار) است که در مقایسه با حداقل غلظت این یون در چاههای مجاور، $mg\text{l}^{-1}$: ۱۲۷۶/۶ B.W.8 و $mg\text{l}^{-1}$: ۳۹۴/۳ B.W.9 کمتر و یا تقریباً برابر می‌باشد. نسبت Cl/Br در پساب مجتمع فولاد ۱۸۴۲ تا ۲۶۶۰ بدست آمده است. غلظت عناصر در پساب کارخانه ذوب آهن (B.W.26) نسبت به چاه بالادست آن (چاه ۴۱۷ تا ۱۹۶۲) غلظت‌های کمتری دارد. نسبت Cl/Br در پساب این کارخانه ۳۷۰۰ است.

غلظت عناصر مورد بررسی در پساب گروه شیمیایی تفاوت زیادی با غلظت عناصر مشابه در چاههای بالادست نشان می‌دهد. چاه 22.W.B. در فاصله ۳۷۰۰ متری پایین دست این حوضچه‌ها در مسیر جریان آب زیرزمینی، غلظت‌های پایین تری نسبت به چاههای مجاور، که محل تمرکز غلظت عناصر در این محدوده است (چاههای 21.W.B. و 23.W.B.)، نشان می‌دهد. با توجه به عدم امکان سنجش آنیون‌ها در پساب گروه شیمیایی، مقادیر EC بالای آن وجود

زیرزمینی حاوی فرایند تبادل کاتیونی بالا است (Edmunds *et al.*, 2008). همبستگی بالای (>0.7) این عنصر با یون‌های Na، SO₄، I و Li حاکی از وجود منشا احتمالی تبخیری-ارگانیک برای این عنصر است.

در مجموع، با درنظر داشتن جهت جریان آب زیرزمینی در آبخوان لنجانات، تمایز منشا طبیعی و انسانی عناصر مورد بررسی به دلیل تمرکز غلظت آن‌ها در چاههای کشاورزی بخش میانی دشت مشکل شده است. بهر حال، با توجه به این که غلظت نمک در جریان‌های برگشتی کشاورزی دو تا هفت برابر بیش از آبی است که برای آبیاری بکار رفته است (Richter and Kreitler, 1993)، پمپاژ مداوم آب زیرزمینی با $\mu\text{S/cm} > 4000$ و استفاده از آن جهت آبیاری غرقابی در شرایط اقلیمی خشک دشت مورد بررسی سبب تجمع عناصر در خاک و بازگشت مجدد آن‌ها همراه با فروشوبی ترکیبات نیتروژن به آب زیرزمینی گردیده است. به دلیل تغییر مسیر طبیعی زهکشی آبخوان توسط رودخانه، آب زیرزمینی با غلظت بالای عناصر به جای خروج از طریق دره شرقی دشت لنجانات، در آبخوان جنوب رودخانه تجمع یافته و برای آبیاری اراضی کشاورزی پمپاژ می‌شود.

فعالیت‌های صنعتی

قرارگیری حوضچه‌های پساب صنایع فعال در منطقه در بالادست چاههایی که بالاترین غلظت عناصر در آب زیرزمینی را دارد، تاثیر پساب‌های صنعتی و انسانی کارخانه‌های مذکور بر کیفیت آب زیرزمینی را محتمل می‌سازد. براین اساس، غلظت عناصر موثر

آمونیوم 0.36 mgL^{-1} و 0.39 mgL^{-1} است. بیشترین غلظت عنصر Br در این چاه ها، 0.22 mgL^{-1} (B.W.1) و 0.072 mgL^{-1} (B.W.6) است که در مقایسه با حداکثر غلظت این یون در آبخوان ($1/72$) ناچیز می باشد. بیشترین غلظت یون B در 0.94 mgL^{-1} (B.W.6) (زمستان) و 0.96 mgL^{-1} (B.W.1) (پاییز) است که در مقایسه با حداکثر غلظت این عناصر در آب زیرزمینی دشت ($1/85 \text{ mgL}^{-1}$: B و $6/6 \text{ mgL}^{-1}$: I) است. غلظت یون های B و I در چاه 1.B.W.1 نسبت به چاه 6.B.W.6 کمتر است. در مجموع، شواهد مذکور حاکی از عدم تاثیر پساب های خانگی بر شوری آب زیرزمینی دشت است. هرچند فضولات انسانی و حیوانی باعث آلودگی باکتریایی به ویژه در مراکز جمعیتی دشت گردیده است.

تشکر و قدردانی

بدین وسیله از مساعدت آقای مهندس مرتضوی، معاونت بهره برداری شرکت آب و فاضلاب استان اصفهان، در فراهم آوردن امکانات لازم جهت نمونه برداری و سنجش های آزمایشگاهی سپاسگزاری می شود. همچنین از کارشناسان آزمایشگاه مرکزی این شرکت بویژه آقای مهندس قره چاهی تشکر می گردد.

منابع

- Aghanabati, A. (2005). Geology of Iran. Tehran: Geological Survey of Iran
- Agriculture Organization of Esfahan (2009). Storage cash of agricultural services. Esfahan: Agriculture Organization of Esfahan
- Alcala, F.J. and E. Custodio (2008). Using the Cl/Br ratio as a tracer to identify the origin

غلظت های بالای آنها را محتمل می سازد. در مجموع با توجه به مقادیر EC آب زیرزمینی دشت لنجانات و غلظت بالای عناصر در آن، نشت پساب صنایع عامل اصلی در شوری آب زیرزمینی دشت نمی باشد.

پساب های خانگی

بدلیل تمرکز مراکز جمعیتی در حاشیه رودخانه زاینده رود و با توجه به مسیر جریان آب زیرزمینی، پساب های خانگی به صورت مستقیم و غیرمستقیم وارد رودخانه می شود. به منظور بررسی تاثیر این پساب ها بر شوری آب زیرزمینی دشت لنجانات، از نمونه آب زیرزمینی چاه های 1.B.W.1 (پایین دست روستاهای قلعه سفید) و 6.B.W.6 (مجاور روستای کچوییه) در حاشیه ارتفاعات جنوب غربی آبخوان استفاده شده است. براین اساس، نتایج آزمایش باکتریولوژی، غلظت ترکیبات نیتروژن و عناصر فراوان در فضولات انسانی و حیوانی (I و B) و عنصر Br بررسی گردیده است. کلی فرم ها به عنوان میکروب های معرف ورود فاضلاب انسانی و حیوانی به منابع آب است. در چاه 1.B.W.1 تعداد کلی فرم های کل $2-70 \text{ MPN}/100 \text{ ml}$ و کلی فرم های مسدفعی $4-4 \text{ MPN}/100 \text{ ml}$ (E.Coli) در چاه 6.B.W.6 تعداد کلی فرم های کل $26-350 \text{ MPN}/100 \text{ ml}$ و کلی فرم های مسدفعی $26-80 \text{ MPN}/100 \text{ ml}$ (E.Coli) نشان دهنده آلودگی آب زیرزمینی به فاضلاب انسانی و حیوانی است. با این وجود حداکثر غلظت نیترات در چاه های 1.B.W.6 و 6.B.W.6 به ترتیب 40 mgL^{-1} و 26 mgL^{-1} (پایین تر از استاندارد شرب) و حداکثر غلظت

- ratios in studies of potable water, *Groundwater*, 36 (2): 338-350.
- Edmunds, W.M. and P. Shand (2008). *Natural Groundwater Quality*. Boston: Blackwell Publishing
- Edmunds, W.M. and P.L. Smedley (2000). Residence time indicators in groundwater: the East Midlands Triassic sandstone aquifer. *Applied Geochemistry*, 15: 737-752.
- Farnham, I.M., A.K. Singh, K.J. Stetzenbach, and K.H. Johannesson (2002). Treatment of nondetects in multivariate analysis of groundwater geochemistry data. *Chemometrics and Intelligent Laboratory Systems*, 60: 265-281.
- Fisher, R.S. and W.F. Mullican (1997). Hydrochemical evolution of sodium-sulfate and sodium-chloride groundwater beneath the northern Chihuahuan Desert, Trans-Pecos, Texas, USA. *Hydrogeology Journal*, 5: 4-16.
- Forstner, U. (1983). *Applied Environmental Geochemistry*. Academic Press.
- Geological Survey of Iran (1976). Geological Map of Iran, 1:100000 Series, Sheet 6254 RIZ-E-LENJAN. Tehran: Ministry of Industry and Mines.
- Geological Survey of Iran (1978). *Geological Quadrangle Map of Iran No. J7*. Tehran: Ministry of Industry and Mines
- Gibbons, R.D. (1994). *Statistical Methods for Groundwater Monitoring*. United States: John Wiley and Sons Inc
- Hem, J.D. (1986). *Study and Interpretation of the Chemical Characteristics of Natural Water*. United States: U.S. Geological Survey.
- Hopkins, D.G. and J.L. Richardson (1999). Detecting a salinity plume in an unconfined sandy aquifer and assessing EConday soil of salinity in aquifers in Spain and Portugal. *Journal of Hydrology*, 359: 189– 207.
- APHA (2005). *Standard Methods for the Examination of Water and Wastewater*, American Public Health Association (APHA). California: American Water Works Association (AWWA) & Water Environment Federation (WEF)
- Batayneh, A.T. (2006). Use of electrical resistivity methods for detecting subsurface fresh and saline water and delineating their interfacial configuration: a case study of the eastern Dead Sea coastal aquifers, Jordan. *Hydrogeology Journal*, 14: 1277–1283.
- Cartwright, I., S. Hall, S. Tweed and M. Leblanc (2009). Geochemical and isotopic constraints on the interaction between saline lakes and groundwater in southeast Australia. *Hydrogeology Journal*, 17: 1991–2004.
- Cartwright, I., T. R. Weaver and L. K. Fifield (2006). Cl/Br ratios and environmental isotopes as indicators of recharge variability and groundwater flow: An example from the southeast Murray Basin, Australia. *Chemical Geology*, 231: 38–56.
- Collins, A.G. (1975). *Geochemistry of Oilfield Waters*. San Francisco: Elsevier.
- D'Alessandro, W., S. Bellomo, F. Parella, L. Brusca and M. Longo (2008). Survey on fluoride, bromide and chloride contents in public drinking water supplies in Sicily (Italy). *Environ. Monit. Assess.*, 145: 303–313.
- Davis, S.N., L.D. Cecil, M. Zreda and S. Moysey (2001). Chlorine-36, bromide, and the origin of spring water. *Chemical Geology*, 179: 3–16.
- Davis, S.N., D.O. Whittemore and J. Fabryka-Martin (1998). Uses of Chloride/Bromide

- salinity in ground water from Jericho area, Jordan valley, *Groundwater*, 39 (2): 240-248.
- Ministry of Energy (1985). The report of geophysical studies in Mobarakeh (Esfahan). Tehran: Department of Groundwater
- Moore, S.J., R. L. Bassett, B. Liu, C.P. Wolf and D. Doremus (2008). Geochemical tracers to evaluate hydrogeologic controls on river salinization. *Groundwater*, 46 (3): 489–501.
- Paine, J.G. (2003). Determining salinization extent, identifying salinity sources, and estimating chloride mass using surface, borehole, and airborne electromagnetic induction methods. *Water Resources Research*, 39 (3): 1 -10.
- Parkhurst, D.L. and C.A.J. Appelo (2005). *PHREEQC (Version 2.15.02)*. A Hydrogeochemical Transport Model.
- Parsabe Sepahan Andish (2008). The project of contaminants recognition in Zarinshahr, Thirteen Volumes. Esfahan: Zarinshahr Municipality
- Poulsen, S.E., K.R. Rasmussen, N.B. Christensen and S. Christensen (2010). Evaluating the salinity distribution of a shallow coastal aquifer by vertical multielectrode profiling (Denmark). *Hydrogeology Journal*, 18: 161–171.
- Rao, N.S. (2008), Factors controlling the salinity in groundwater in parts of Guntur district, Andhra Pradesh, India. *Environ. Monit. Assess.*, 138: 327–341.
- Richter, B.C. and C.W. Kreitler (1993). *Geochemical Techniques for Identifying Source of Ground-Water Salinization*. USA: C. K. Smoley.
- Slater, L.D., A. Binley and D. Brown (1997). Electrical imaging of fractures using ground-salinization using electromagnetic induction techniques, North Dakota, USA. *Hydrogeology Journal*, 7: 380–392.
- Hounslow, A.W. (1995). *Water Quality Data, Analysis and Interpretation*. USA: LEWIS Publication
- Hudak, P. F. (2003). Chloride/bromide ratios in leachate derived from farm-animal waste. *Environmental Pollution*, 121: 23–25.
- Iran Steel Co. (1973). Geological and lithological ECTION of wells. Department of Engineering Geology. Esfahan: Iran Steel Co.
- Jafarian, M.A. (1985). The project of soils studies in Mobarakeh Steel Co. Esfahan: Esfanan University
- Jankowski, J. and R. Ian Acworth (1997). Impact of debris-flow deposits on hydrogeochemical processes and the development of dryland salinity in the Yass river catchment, New South Wales, Australia, *Hydrogeology Journal*, 5 (4): 71-88.
- Kafri, U., M. Goldman, V. Lyakhovsky, C. Scholl , S. Helwig and B. Tezkan (2007). The configuration of the fresh–saline groundwater interface within the regional Judea Group carbonate aquifer in northern Israel between the Mediterranean and the Dead Sea base levels as delineated by deep geoelectromagnetic soundings. *Journal of Hydrology*, 344: 123– 134.
- Knuth, M., J.L. Jackson and D.O. Whittemore (1990). An integrated approach source contaminating to identifying the salinity a ground-water supply. *Groundwater*, 28 (2): 207-214.
- Kresic, N. (2009). *Groundwater Resources, Sustainability, Management, and Restoration*. USA: McGraw-Hill Inc
- Mariel, A. and A.Vengosh (2001). Sources of

water salinity change. *Groundwater*, 35 (3): 436-442.

Stoessell, R.K. (1997). Delineating the chemical composition of the salinity source for saline ground waters: An example from East-Central Concordia Parish, Louisiana. *Groundwater*, 35 (3): 409-417.

USEPA (2007). Groundwater sampling SESDPROC-301-R1, SESD operating procedure for groundwater sampling. USA: United State Environmental Protection Agency.

USGS (2006). Field Measurment, TWRI Book 9. USA: United State Geological Survey.

Vengosh, A. and I. Pankratov (1998). Chloride/Bromide and Chloride/Fluoride ratios of domestic sewage effluents and associated contaminated ground water. *Groundwater*, 36 (5): 815-824.